



بیست و یکمین کنفرانس اپتیک و فوتونیک ایران  
و هفتمین کنفرانس مهندسی و فناوری فوتونیک ایران  
۲۳ تا ۲۵ دی ماه ۱۳۹۳، دانشگاه شهید بهشتی



## افزایش بازدهی با بهینه سازی مکان هسته تار در لیزرهای تار دوغلافی

مسلم جوادی منش، سعید قوامی صبوری و علیرضا خورسندی

دانشکده فیزیک دانشگاه اصفهان

چکیده - در این پژوهش با بهینه سازی مکان هسته در لیزرهای تار دو غلافی، جذب نور دمش در تارهای دایره‌ای و D-شکل مورد بررسی قرار گرفته و برای پارامترهای تجربی شبیه سازی شده است. نتایج نشان می‌دهد که در تار دایره‌ای با افزایش فاصله هسته از مرکز تار، بازدهی جذب پرتوهای دمش افزایش می‌یابد اما در تار D-شکل این تغییرات دارای یک نقطه بهینه می‌باشد. با بررسی این تغییرات در تار D-شکل، مکان بهینه جدیدی برای هسته بدست آمده است که در آن، جذب پرتوهای دمش در هسته‌ی تار از ۹۱٪ به ۹۷٪ افزایش می‌یابد.

کلیدواژه- لیزر تار دو غلافی، مکان هسته، روش پرتویابی

## Optimization of the core location for efficiency enhancement of double-clad fiber lasers

Moslem Javadimanesh, Saeed Ghavami Sabouri and Alireza Khorsandi

Department of Physics, University of Isfahan, 81746-73441 Isfahan, Iran

Abstract- This paper aims at optimizing the absorption of the pump beam by core location in double-clad fiber lasers for circular and D-shaped fibers using practical data. The results indicate that, in a fiber with circular geometry, the absorption of the pump is increased by increasing the distance of the core from the center. However, in a D-shaped fiber, the variation of pump absorption has an optimum point. Considering these variations in the D-shaped fiber, a new optimum location for the core is obtained in which the pump absorption is increased from 91% to 97%.

Keywords: double clad fiber laser, core location, ray tracing method

## ۱ مقدمه

زاویه‌ی پرتو را پس از هر بازتاب می‌توان از رابطه‌ی زیر بدست آورد:

$$\theta_{New} = \pi + 2\alpha - \theta \quad (1)$$

مسیر انتشار پرتو را می‌توان با استفاده از قانون بازتاب و از رابطه زیر بدست آورد:

$$y - y_i = tg(\theta)(x - x_i) \quad (2)$$

از این رو فاصله‌ی بین محور هسته‌ی تار و پرتو برابر است با:

$$d = \frac{tg(\theta)x_i - y_i}{\sqrt{1 + tg^2(\theta)}} \quad (3)$$

در صورتی که هسته تار به اندازه  $\rho$  در راستای  $y$  جابجا شود، فاصله‌ی جدید میان محور هسته‌ی تار و پرتو برابر است با:

$$d = \frac{tg(\theta)x_i + \rho - y_i}{\sqrt{1 + tg^2(\theta)}} \quad (4)$$

همچنین در تار با سطح مقطع D-شکل داریم:

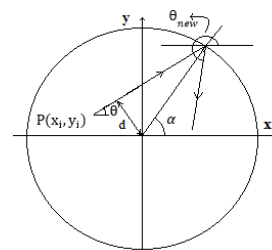
$$d = \frac{tg(\theta)(x_i - s) - y_i}{\sqrt{1 + tg^2(\theta)}} \quad (5)$$

که در آن  $S$  برابر با فاصله‌ی هسته از مرکز تار است که در شکل (۵) مشخص شده است. اگر شعاع هسته‌ی تار برابر با  $r_0$  باشد با توجه به معادله ۳ زمانی پرتو جذب هسته می‌شود که  $d < r_0$  باشد. از طرفی  $d$  ثابت نیست و با تغییر نقطه‌ی  $P$  و جهت انتشار پرتو ( $\theta_{New}$ ) تغییر می‌کند. همچنین نقطه‌ی  $P$  و  $\theta_{New}$  با تغییر پرتوهای دمشی و بازتاب آنها از سطح غلاف داخلی تار، تغییر می‌کنند. مسیر پرتوهای دمشی بعد از هر بازتاب از سطح غلاف داخلی را با معادله‌ی ۲ می‌توان بدست آورد. بازدهی جذب پرتوهای دمشی با نسبت تعداد پرتوهای جذب شده در هسته به کل پرتوهای فرودی متناسب است. از این رو کمیت  $N$  را به عنوان تعداد بازتاب از سطح غلاف داخلی تعریف می‌کنیم. در این صورت برای پرتوی که هیچ بازتابی از سطح جانبی غلاف داخلی نداشته باشد و به هسته می‌رسد  $N=0$  است. برای پرتوی که پس از یک بار بازتاب جذب هسته شود  $N=1$  می‌باشد. پرتوهایی که در تار به صورت مارپیچ حرکت می‌کنند جذب هسته نمی‌شوند. از آنجایی که  $N$  رابطه مستقیمی با طول تار دارد،

تقویت توان در تارهای تک مدی آلاینده با عناصر خاکی کمیاب به دلیل دشواری در جفت کردن یک پرتو دمشی با توان بالا به درون هسته با محدودیت روبروست. از اینرو طراحی تارهای دوغلافی با هدف غلبه بر این مشکل در سطح وسیعی انجام گرفته و می‌گیرد [۱]. تارهای با غلاف داخلی D-شکل به دلیل بازدهی جذب بالا، به صورت گسترده‌ای در ساخت لیزرهای تار با توان بالا مورد استفاده قرار می‌گیرند. چون معمولاً شعاع خمشی تار خیلی بزرگتر از شعاع غلاف داخلی تار است، می‌توان اثر خمشی را روی انتشار پرتوهای دمشی نادیده گرفت و با استفاده از روش پرتویابی دو بعدی، درصد جذب این پرتوها را در تار تجزیه و تحلیل کرد. برای این کار ما فرض می‌کنیم که: الف) قطر غلاف داخلی خیلی بزرگتر از طول موج دمشی است به طوری که استفاده از اپتیک هندسی با تقریب بالایی مجاز است، ب) مرز بین غلاف اول و دوم یک سطح ایده‌آل است و هیچ ابیراهی ندارد و ج) توزیع ضریب شکست در تار یکنواخت است. با فرض‌های یاد شده انتشار پرتو درون تار را می‌توان از اپتیک هندسی دنبال کرد [۲]. ما در این پژوهش تغییر جذب پرتوهای دمشی در تار نوری دوغلافی را نسبت به مکان هسته در تارهای با سطح مقطع دایره‌ای و D-شکل مورد بررسی قرار می‌دهیم. نتایج شبیه‌سازی نشان می‌دهد که در تار دایره‌ای با افزایش فاصله هسته از مرکز تار، بازدهی جذب پرتوهای دمشی افزایش می‌یابد اما در تار D-شکل این تغییرات دارای یک نقطه‌ی بهینه می‌باشد.

## ۲ زمینه نظری

همانطوری که در شکل (۱) نشان داده شده است، دسته‌ای از پرتوها که جهت انتشار یکسانی دارند در صفحه‌ی ورودی تار در نقطه‌ی  $P(x_i, y_i)$  با زاویه‌ی  $\theta$  وارد تار شده و سپس توسط غلاف داخلی بازتاب می‌شوند.

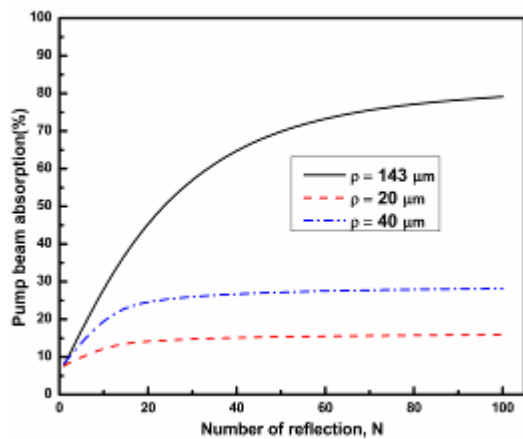


شکل ۱: بازتاب پرتو از سطح غلاف داخلی

طوری که در  $\rho = 190 \mu m$  بازدهی جذب پرتوهای دمشی به  $۸۷,۴\%$  می‌رسد. لازم به ذکر است که در عمل اندازه-ی  $\rho$  از معیار زیر پیروی می‌کند [۲]:

$$\rho + r_0 + 50 < R \quad (۴)$$

که در آن  $R$  و  $r_0$  به ترتیب شعاعهای غلاف داخلی و هسته تار دوغلافی می‌باشند. بنابراین با توجه به رابطه‌ی ۴، در تار نوری با شعاع غلاف داخلی  $R = 200 \mu m$  و شعاع هسته  $r_0 = 6 \mu m$  اندازه مجاز برای  $\rho$  کمتر از  $۱۴۴ \mu m$  است. شکل (۴) تغییرات بازدهی جذب دمشی بر حسب تعداد بازتاب از سطح غلاف داخلی را به ازای چند مقدار  $\rho$  نشان می‌دهد.

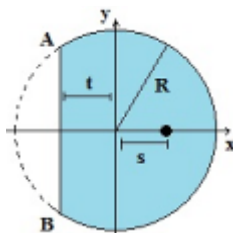


شکل ۴: نمودار درصد جذب پرتوهای دمشی بر حسب تعداد بازتاب در تار دایره‌ای با  $\rho$  های مختلف

همانطوری که پیداست بیشترین بازدهی جذب پرتوهای دمشی از سطح مقطع خارج از مرکز برابر با  $۷۹\%$  به ازای  $\rho = ۱۴۳ \mu m$  می‌باشد.

## ۲-۱-۲ بررسی مکان هسته در تار دوغلافی با ساختار D-شکل

برای بررسی تغییرات جذب پرتوی دمشی نسبت به مکان هسته در تار دوغلافی D-شکل جذب پرتوهای دمشی شکل (۵) را در نظر می‌گیریم.

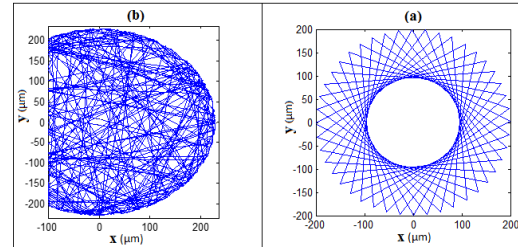


شکل ۵: فاصله‌ی مرکز هسته از مبدا مختصات در تار دوغلافی D-شکل

فرض می‌کنیم پرتوی که بیش از  $۱۱۰$  بار بازتاب جذب هسته نشود از تار خارج شده و یک پرتو مارپیچ است [۳].

## ۱-۲ بهینه سازی مکان هسته

شکل (۲) مسیر پرتوهای دمشی در غلاف داخلی تار دوغلافی با سطح مقطع دایره‌ای و سطح مقطع D-شکل را نشان می‌دهد که آنرا در محیط MATLAB شبیه سازی کرده‌ایم.

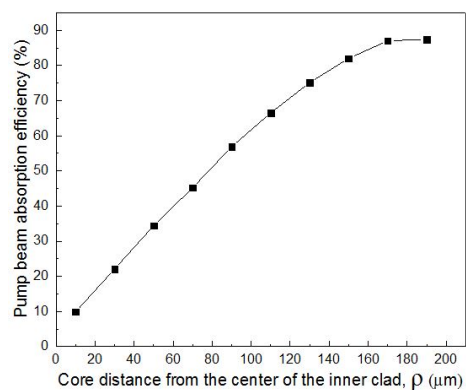


شکل ۲: مسیر پرتوها در غلاف داخلی تار با (a) سطح مقطع دایره‌ای و (b) D-شکل که در محیط MATLAB شبیه سازی شده است.

دید می‌شود که در تار دوغلافی با سطح مقطع D-شکل تقارن دایره‌ای از بین رفته است که این باعث می‌شود تا جذب پرتوهای دمشی در هسته تار افزایش یابد. اما برای افزایش جذب پرتوهای دمشی در تار با سطح مقطع دایره‌ای، لازم است مکان هسته را در صفحه XY تغییر دهیم.

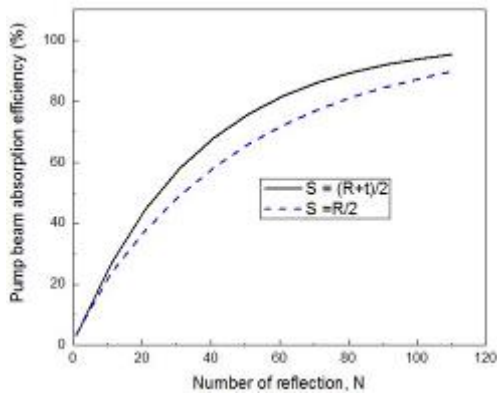
## ۲-۱-۲ بررسی مکان هسته در تار دوغلافی با ساختار دایره‌ای

نمودار شکل (۳) تغییرات بازدهی جذب را نسبت به فاصله‌ی هسته از مرکز تار دوغلافی نشان می‌دهد.



شکل ۳: تغییرات جذب پرتو دمشی نسبت به  $\rho$  در تار دوغلافی با سطح مقطع دایره‌ای با شعاع غلاف داخلی  $R = 200 \mu m$  و شعاع هسته  $r_0 = 6 \mu m$

همان طور که در شکل (۳) نشان داده شده است با افزایش  $\rho$  جذب پرتوهای دمشی نیز افزایش می‌یابد به



شکل ۷: تغییرات جذب پرتوهای دمش نسبت به  $N$ . نمودار خط چین بر اساس مرجع شماره [۴] و نمودار توپر بر اساس محاسبات انجام شده در این پژوهش می باشد.

با توجه به نمودار شکل (۷) بازدهی جذب پرتوهای دمش در  $N=50$  از ۶۵٫۹٪ در  $S = R/2$  به ۷۵٫۷٪ در  $(R+t)/2$  افزایش یافته‌اند.

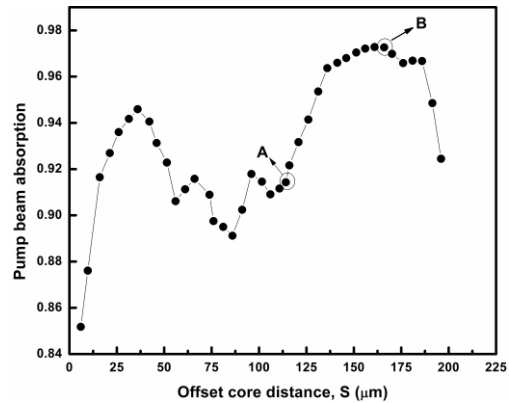
### ۳ نتیجه‌گیری

ما در این پژوهش مکان هسته در تارهای دو غلافی با سطح مقطع دایره‌ای و شکل  $D$  را با رهیافت اپتیک هندسی با استفاده از پرتویابی دوبعدی، مورد بررسی قرار دادیم. نتایج شبیه سازی نشان می‌دهد که جذب پرتوهای دمش در سطح مقطع دایره‌ای با افزایش فاصله هسته از مرکز تار افزایش می‌یابد اما در تار  $D$  شکل این تغییرات دارای یک نقطه‌ی بهینه می‌باشد. در ادامه با بررسی تغییرات جذب پرتوهای دمش در تار دو غلافی  $D$  شکل، مکان بهینه جدیدی برای هسته معرفی کردیم که بر این اساس بازدهی جذب پرتوهای دمش در هسته‌ی این تار تا ۵٫۷٪ افزایش یافته است.

### مراجع

- [1] Doya, V., O. Legrand, and F. Mortessagne, *Optimized absorption in a chaotic double-clad fiber amplifier*. **Optics letters**, 2001. **26**(12): p. 872-874.
- [2] Liu, A. and K. Ueda, *The absorption characteristics of circular, offset, and rectangular double-clad fibers*. **Optics Communications**, 1996. **132**(5): p. 511-518.
- [3] Loua, J.Z.Q., et al. *A new inner cladding shape for high-power double-clad fiber lasers*. in **Proceedings of SPIE**. 2002.
- [4] Michel, C., et al., *Gain-controlled wave chaos in a chaotic optical fibre*. **Journal of the European Optical Society-Rapid publications**, 2009. 4.

در شکل  $t$  و  $R$  به ترتیب فاصله‌ی صفحه‌ی برش  $AB$  از مرکز هسته‌ی تار و شعاع غلاف اول می‌باشند. همچنین  $S$  برابر با فاصله‌ی هسته از مرکز تار است. در مرجع شماره [۴] مکان بهینه هسته در تار دو غلافی  $D$  شکل،  $S = R/2$  بدست آمده است. به این ترتیب برای بهینه سازی این فاصله، تغییرات جذب پرتوهای دمش نسبت به مکان هسته را با دقت مش‌بندی  $5 \mu\text{m}$  محاسبه کرده‌ایم که نتایج آن در شکل (۶) نشان داده شده است.



شکل ۶: نمودار جذب پرتوهای دمش بر حسب  $S$  در تار دو غلافی  $D$  شکل که سطح مقطع معادل دایره‌ای آن در  $R=228 \mu\text{m}$ ،  $t=100 \mu\text{m}$  و  $r_0=6 \mu\text{m}$  می باشد. در این محاسبه  $N=110$  فرض شده است.

تغییرات زیگ زاکی در شکل (۶) به این دلیل است که در تار نوری با سطح مقطع  $D$  شکل، حرکت پرتوها کاملاً بی نظم است. البته این بی نظمی به شکلی نیست که کنترل نشده و غیر قابل پیش بینی باشد بلکه این تغییرات از یک نمایه‌ی مشخص پیروی می‌کند. نقاط  $A$  و  $B$  به ترتیب مکان بهینه هسته بر اساس مرجع شماره [۴] و محاسبات انجام شده در این پژوهش است. دیده می‌شود که به ازای  $N=110$  بازدهی جذب پرتوهای دمش از ۹۱٫۴٪ در  $S = R/2$  به ۹۷٫۱٪ در  $S = (R+t)/2$  افزایش یافته است. این نتایج نشان می‌دهد که در نقطه  $B$  جذب پرتوهای دمش تقریباً ۵٫۷٪ افزایش یافته است و نسبت به تعداد بازتاب‌ها حساس است. بنابراین جذب پرتوهای دمش نسبت به تعداد بازتاب از سطح غلاف داخلی محاسبه و نتایج آن در شکل (۷) نشان داده شده است.